

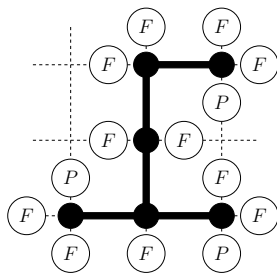
# PERCOLATION DE PREMIER PASSAGE

Lucas Gerin | Cours doctoral (MODAL'X, Mai 2013)

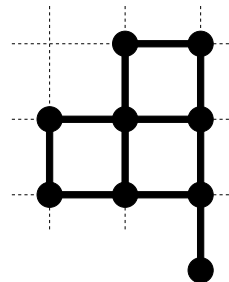
## Motivation : Modèle d'Eden et percolation de premier passage

Nous allons commencer par considérer un objet aléatoire discret très simple : le modèle d'Eden (c'est un physicien, rien à voir avec le jardin). Fixons un paramètre  $p \in (0, 1)$ , et considérons la suite  $\{E(t), t = 0, 1, 2, \dots\}$  de sous-ensembles de  $\mathbb{Z}^2$  définie de la façon suivante.

- $E(0) = \{0\}$ .
- Connaissant  $E(t)$ , on lance indépendamment sur chaque arête qui "sort" de  $E(t)$  une pièce qui tombe sur "pile" avec probabilité  $p$ . Pour chaque pièce qui tombe sur pile, le sommet de l'arête correspondante qui n'appartenait pas  $E(t)$  est rajouté pour donner  $E(t + 1)$ .



Un exemple de  $E(t)$  avec les pièces



Le  $E(t + 1)$  correspondant

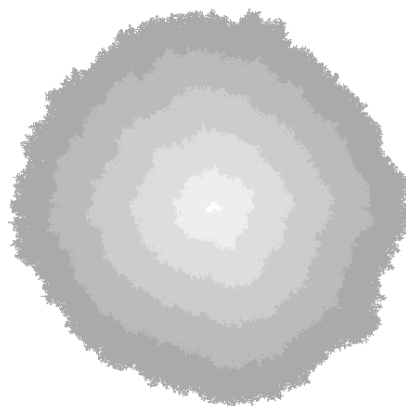


FIGURE 1 – Le modèle d'Eden pour  $p = 0.02$ , représenté à différents temps jusqu'à  $10^6$ .

On peut se demander à quelle vitesse croît  $E(t)$ , et s'il a une forme particulière. Le modèle d'Eden fait partie d'une famille d'objets que l'on appelle parfois *processus de croissance aléatoires*. Nous

allons plutôt voir ce modèle comme un objet statique : fixons un sommet  $x$ , on va étudier l'instant  $T_x$  où  $x$  est colorié.

Si pour chaque sommet  $y$  voisin de  $x$  on note  $g_{(x,y)}$  le nombre de fois où il a fallu lancer la pièce qui est entre  $x$  et  $y$  avant de tomber sur pile, les variables  $g$  sont des géométriques de paramètre  $p$  indépendantes et on a

$$T_x = \min_{y \sim x} \{T_y + g_{(x,y)}\},$$

où  $y \sim x$  signifie que le min est pris sur les 4 voisins de  $x$  dans  $\mathbb{Z}^2$ . Mais en "remontant" ainsi cette équation jusqu'à l'origine, on peut vérifier que  $T_x$  peut s'écrire

$$T_x = \inf_{\gamma: 0 \rightarrow x} \sum_{(x_i, x_{i+1}) \in \gamma} g_{(x_i, x_{i+1})},$$

où l'inf est pris sur l'ensemble de tous les chemins dans  $\mathbb{Z}^2$  allant de 0 à  $x$ , et la somme est prise sur les arêtes de  $\gamma$ . On pourrait prendre bien sûr n'importe quelle loi positive sur les arêtes à la place de la loi géométrique, c'est justement la *Percolation de Premier Passage*.

## 1 Le modèle de la Percolation de Premier Passage

On se donne  $\{\tau_e, e \text{ arêtes de } \mathbb{Z}^2\}$  une famille de variables aléatoires **positives** indépendantes de même loi  $\tau$ . On suppose que  $\tau$  a une **espérance finie**. Pour une arête  $e$ ,  $\tau_e$  est appelé *temps de passage* de l'arête  $e$ .

Pour un *chemin*  $\gamma$  allant de  $x$  à  $y$

$$\gamma : x = x_0 \rightarrow x_1 \rightarrow \cdots \rightarrow x_k = y$$

le temps de passage  $\tau(\gamma)$  du chemin  $\gamma$  est, par extension, la somme des temps de passage de ses arêtes :

$$\tau(\gamma) = \sum_{i=0}^{k-1} \tau_{(x_i, x_{i+1})}.$$

Et ainsi les  $\{\tau_e\}$  définissent une distance <sup>(i)</sup> aléatoire sur  $\mathbb{Z}^2$  :

$$D(x, y) = \inf_{\gamma: x \rightarrow y} \tau(\gamma),$$

où l'inf est pris sur tous les chemins qui vont de  $x$  à  $y$ .

On peut voir cet objet comme un modèle de propagation d'un liquide dans un milieu poreux aléatoire : si l'on injecte initialement du liquide en l'origine  $\vec{0}$ , et que l'on suppose que le liquide met un temps  $\tau_e$  pour traverser l'arête  $e$ , alors la première goutte arrive en  $x$  à l'instant  $D(\vec{0}, x)$ .

Les exemples à avoir en tête pour la loi des temps de passages sont :

- Temps de passage géométriques ( $\mathbb{P}(\tau = k) = p(1-p)^{k-1}$ ), et alors  $D(\vec{0}, x)$  est le  $T_x$  du modèle d'Eden de paramètre  $p$ .

---

(i). Ce n'est pas tout à fait une distance car deux sommets différents peuvent être à distance nulle si  $\mathbb{P}(\tau = 0) > 0$ .

- Temps de passage *Bernoulli* :

$$\tau = \begin{cases} a & \text{avec probabilité } 1 - p \\ b & \text{avec probabilité } p \end{cases}$$

avec  $a < b$ .

- Temps de passage exponentiels ( $\tau$  de densité  $e^{-u}$ )

Le modèle a été introduit par Hammersley et Welsh [9], les questions qui se posent naturellement sont les suivantes :

1. Que peut-on dire de  $D(x, y)$  lorsque  $x, y$  sont éloignés ? Par exemple, si l'on note  $\vec{n} = (n, 0)$ , quel est l'ordre de grandeur de  $D(\vec{0}, \vec{n})$  quand  $n$  tend vers l'infini ? Comment évolue son espérance ?
2. Et sa variance ?
3. À quoi ressemble une géodésique entre  $\vec{0}$  et  $\vec{n}$  ?
4. Quelle est la forme des grandes boules (aléatoires) de  $D$  ?

On a de quoi s'occuper avec la première question, les trois autres sont essentiellement des problèmes ouverts.

## 2 Croissance linéaire : utilisation de la sous-additivité

À partir de maintenant, on se concentre sur la distance entre  $\vec{0}$  et  $\vec{n}$ , et on note

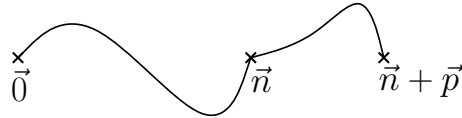
$$D_n = D(\vec{0}, \vec{n}), \quad d_n = \mathbb{E}[D_n].$$

Un examen rapide du cas des temps de passage de Bernoulli montre que  $na \leq D_n \leq nb$ . Pour des lois  $\tau$  plus générales, on voit en considérant le chemin qui "va tout droit" de  $\vec{0}$  à  $\vec{n}$  que

$$D_n \leq \tau_{\vec{0} \rightarrow \vec{1}} + \tau_{\vec{1} \rightarrow \vec{2}} + \cdots + \tau_{\vec{n-1} \rightarrow \vec{n}},$$

et donc  $\mathbb{E}[D_n] \leq n\mathbb{E}[\tau]$ . Tout ceci suggère que  $D_n$  (ou en tout cas son espérance) se comporte linéairement en  $n$ . Le but de cette partie est de le démontrer, et l'outil essentiel est la *sous-additivité*.

Plaçons-nous dans le cas général de temps de passage quelconques, et faisons l'observation élémentaire suivante : si l'on colle le meilleur chemin  $\vec{0} \rightarrow \vec{n}$  et le meilleur chemin  $\vec{n} \rightarrow \vec{n} + \vec{p}$



on obtient un chemin  $\vec{0} \rightarrow \vec{n} + \vec{p}$ , mais qui n'est peut-être pas optimal. Ceci démontre tout de même que

$$D(\vec{0}, \vec{n} + \vec{p}) \leq D(\vec{0}, \vec{n}) + D(\vec{n}, \vec{n} + \vec{p}) \quad (1)$$

(c'est tout simplement l'inégalité triangulaire pour  $D$ ). En prenant pour commencer l'espérance des deux côtés on obtient  $d_{n+p} \leq d_n + d_p$  :  $(d_n)$  est une suite **sous-additive**.

**Lemme** (Fekete (1923)). Soit  $(u_n)$  une suite sous-additive de réels positifs, alors  $(u_n/n)_{n \geq 1}$  converge. Plus précisément,

$$\lim_{n \rightarrow \infty} \frac{u_n}{n} = \inf_{n \geq 1} \frac{u_n}{n}.$$

*Démonstration.* Soit  $p \geq 1$  un entier fixé et, pour  $n \geq p$ ,  $n = pq_n + r_n$  la division euclidienne de  $n$  par  $p$ . Par sous-additivité, on a

$$u_n = u_{pq_n + r_n} \leq u_{pq_n} + u_{r_n} \leq q_n u_p + u_{r_n}.$$

En passant à la limite supérieure, on obtient  $\limsup_n \frac{u_n}{n} \leq \limsup_n \frac{q_n}{n} u_p + \frac{u_{r_n}}{n}$ . Pour le premier terme, on a bien sûr  $q_n/n \sim 1/p$ . Pour le deuxième terme,  $(r_n)$  ne prend que  $p$  valeurs différentes, et donc  $u_{r_n}/n$  tend vers zéro. Finalement,  $\limsup_n \frac{u_n}{n} \leq \frac{u_p}{p}$ , et en prenant l'inf sur  $p$  :  $\limsup_n \frac{u_n}{n} \leq \inf_p \frac{u_p}{p} \leq \liminf_p \frac{u_p}{p}$ , et ces trois quantités sont égales.  $\square$

Nous avons ainsi démontré le résultat suivant :

**Proposition 1** (L'espérance évolue linéairement). Pour la percolation de premier passage de loi  $\tau$  d'espérance finie, il existe une constante  $\mu(\tau)$ , appelée constante de temps, telle que

$$\mu(\tau) := \lim_{n \rightarrow \infty} \frac{\mathbb{E}[D(\vec{0}, \vec{n})]}{n} = \inf_{n \geq 1} \frac{\mathbb{E}[D(\vec{0}, \vec{n})]}{n} \in [0, +\infty[.$$

- Remarque .**
1. À ce stade, rien ne permet d'exclure que pour certaines lois  $\tau$  l'on ait  $\mu(\tau) = 0$ , auquel cas  $d_n$  croît sous-linéairement. Dans le cas Bernoulli par exemple, on a  $D_n \geq na$  et donc  $\mu \geq a$ .
  2. Pour que  $\mu(\tau)$  soit finie, il n'est en fait pas nécessaire que  $\tau$  soit intégrable, mais seulement que la plus petite de 4 arêtes indépendantes le soit :  $\mathbb{E}[\min\{\tau_1, \tau_2, \tau_3, \tau_4\}] < \infty$ .
  3. La remarque sur le "chemin qui va tout droit" implique que  $\mu(\tau) \leq \mathbb{E}[\tau]$ . On a même la majoration  $\mu \leq \mathbb{E}[D(\vec{0}, \vec{1})]$ , qui est parfois un peu meilleure.
  4. La suite de variables aléatoires  $(D_n)_{n \geq 0}$  n'est en général pas sous-additive. On peut très bien avoir  $D_{n+p}$  beaucoup plus grand que  $D_n + D_p$ , par exemple si les quatre arêtes sortant de  $\vec{n} + \vec{p}$  ont des temps de passage très grands.

La convergence de  $\mathbb{E}[D_n]/n$  vers une constante n'empêche bien sûr pas la suite de variables aléatoires  $D_n/n$  de très mal se comporter, il est donc assez naturel d'essayer de démontrer cette convergence dans un sens beaucoup plus fort : une convergence en probabilité ou presque-sûre.

Pour cela, et dès l'article initial, Hammersley et Welsh [9] ont eu l'idée de démontrer un "Lemme de Fekete aléatoire", mais l'énoncé le plus satisfaisant est dû à Kingman <sup>(ii)</sup>.

**Théorème 1** (Théorème sous-additif de Kingman (1968)). Soit  $\{X_{m,n} : m < n\}$  une famille de variables aléatoires vérifiant les conditions suivantes :

- (i) Pour tous  $m < p < n$ ,

$$X_{m,n} \leq X_{m,p} + X_{p,n}.$$

- (ii) La famille  $\{X_{m+1,n+1}\}_{m,n \geq 0}$  a même loi que  $\{X_{m,n}\}_{m,n \geq 0}$ .

- (iii) Pour chaque  $n$ ,  $\mathbb{E}[X_{0,n}] < \infty$ .

Alors, il existe une variable aléatoire  $X$  telle que, presque-sûrement et dans  $L^1$ ,

$$\frac{X_{0,n}}{n} \xrightarrow{n \rightarrow \infty} X.$$

---

(ii). C'est un résultat de théorie ergodique, une preuve moderne et assez courte, mais forcément difficile, se trouve dans [15]. Pour une discussion sur les hypothèses, il faut lire [12].

On applique le Théorème de Kingman à  $X_{m,n} = D(\vec{m}, \vec{n})$ . L'indépendance des temps de passage sur les arêtes assure alors une condition d'ergodicité, et la limite  $X$  est en réalité une variable aléatoire constante. Le résultat principal est donc que, presque-sûrement et dans  $L^1$ ,

$$\lim_{n \rightarrow \infty} \frac{D(\vec{0}, \vec{n})}{n} = \mu(\tau) = \inf_{n \geq 1} \frac{\mathbb{E}[D_n]}{n}. \quad (2)$$

Pour prévenir d'éventuelles déceptions, il faut dire tout de suite qu'à part le cas où  $\mu = 0$  (que nous allons traiter immédiatement), il n'y **aucune loi**  $\tau$  pour laquelle on sache calculer  $\mu(\tau)$ .

### 3 $\mu = 0$ vs $\mu > 0$ : mini-mini-cours de percolation

La première question qui se pose est de savoir si la croissance n'est pas par hasard sous-linéaire, c'est-à-dire si la constante de temps  $\mu$  est bien strictement positive. C'est le cas si  $\tau$  est une variable continue, la condition nécessaire et suffisante est la suivante :

**Théorème 2** (Kesten [11]). *La constante de temps  $\mu$  est nulle si et seulement si  $\mathbb{P}(\tau = 0) \geq 1/2$ .*

Pour ceux qui connaissent, l'apparition du  $1/2$  a bien sûr beaucoup à voir avec le fait que c'est le seuil critique pour la percolation par arête dans  $\mathbb{Z}^2$ .

Nous allons montrer un résultat un peu plus faible, ce sera ainsi l'occasion de faire de la percolation "classique".

**Proposition 2** ( $\mu = 0$  : une version facile). *Si  $\mathbb{P}(\tau = 0) > 2/3$  alors  $\mu = 0$ .*

*Démonstration.* On note

$$p = \mathbb{P}(\tau > 0), \quad 1 - p = \mathbb{P}(\tau = 0).$$

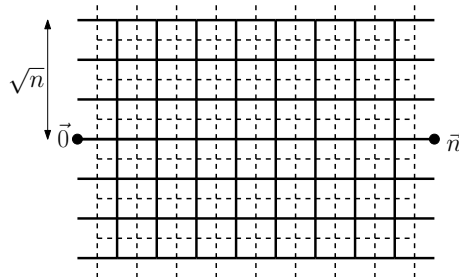
et on dit qu'une arête est *nulle* quand son temps de passage vaut zéro.

Nous allons montrer qu'avec grande probabilité il y a un chemin  $\vec{0} \rightarrow \vec{n}$  qui emprunte seulement  $o(n)$  arêtes non nulles. Plus précisément, considérons dans  $\mathbb{Z}^2$  la boîte  $B_n = [0; n] \times [-\sqrt{n}, \sqrt{n}]$ , nous allons montrer la chose suivante :

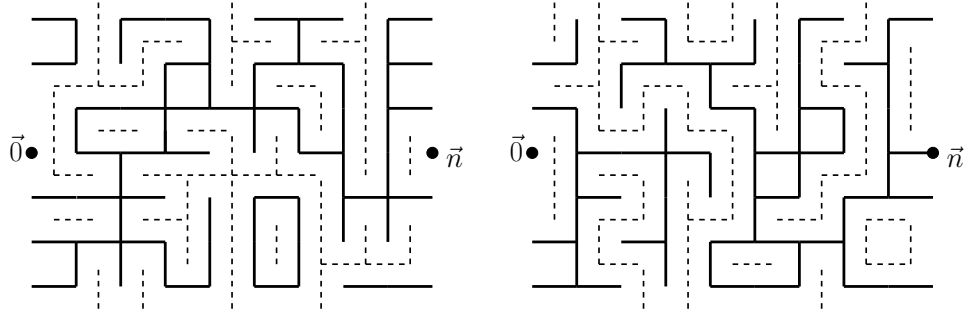
**Lemme .** *Soit  $A_n$  l'événement "il existe un chemin inclus dans la boîte, constitué uniquement d'arêtes nulles, qui va du bord gauche au bord droit". Pour  $n$  assez grand,*

$$\mathbb{P}(A_n) \geq 1 - (3p)^{\sqrt{n}}.$$

*Preuve du Lemme.* Dessinons  $B_n$  et dessinons aussi sa "boîte duale" en pointillés :



On ne garde dans la boîte que les arêtes nulles et à chaque fois on efface l'arête "duale" associée. Alors de deux choses l'une :



$A_n$  : il y a un chemin **d'arêtes nulles** dans la boîte du bord gauche au bord droit

non  $A_n$  : alors il y a chemin dans la boîte duale qui va du bord haut au bord bas et **qui ne coupe que des arêtes non nulles**

Et donc

$$\mathbb{P}(\text{non } A_n) \leq \mathbb{P}(\bigcup_{\mathcal{C}^*} \mathcal{C}^* \text{ ne passe que par des arêtes non nulles}),$$

où l'union se fait sur les chemins **auto-évitatants** formés d'arêtes duales traversant la boîte de haut en bas. Puisque  $\mathbb{P}(\cup) \leq \sum \mathbb{P}$ , on obtient

$$\mathbb{P}(\text{non } A_n) \leq \sum_{\ell \geq 2\sqrt{n}} n 3^\ell p^\ell,$$

où l'on a sommé les chemins  $\mathcal{C}$  selon leur longueur  $\ell$ , et il y a moins que  $n \times 3^\ell$  tels chemins (le  $n$  est là pour choisir le point de départ du chemin sur le bord haut de la boîte). Pour conclure,

$$\mathbb{P}(\text{non } A_n) \leq n(3p)^{2\sqrt{n}} \frac{1}{1 - 3p},$$

qui, pour  $n$  assez grand, est plus petite que  $(3p)^{\sqrt{n}}$ . □

On finit la preuve :

$$\begin{aligned} \mathbb{E}[D_n] &= \mathbb{E}[D_n \mathbf{1}_{A_n \text{ est réalisé}}] + \mathbb{E}[D_n \mathbf{1}_{A_n \text{ n'est pas réalisé}}] \\ &\leq 2\sqrt{n} \mathbb{E}[\tau] + 3n \mathbb{E}[\tau] (1 - \mathbb{P}(A_n)) \\ &\leq 2\sqrt{n} \mathbb{E}[\tau] + 3n \mathbb{E}[\tau] (3p)^{\sqrt{n}}. \end{aligned}$$

En effet,

- Si  $A_n$  est réalisé, on peut passer par un chemin dont les arêtes non nulles sont uniquement sur les bords gauche et droit. Les temps de passage de ces (au plus)  $2\sqrt{n}$  arêtes sont des  $\tau_i$  indépendantes de ce qui se passe dans la boîte.
- Si  $A_n$  n'est pas réalisé, on peut toujours contourner la boîte en  $\sqrt{n} + n + \sqrt{n} \leq 3n$  arêtes.

Finalement  $\mu = \lim \mathbb{E}[D_n/n] = 0$ . □

Inversement, si peu d'arêtes valent zéro, alors  $\mu > 0$ , pour une raison de dénombrement. Là aussi c'est un argument vraiment typique de percolation, et il remonte à Hammersley (1965). Pour

ne pas trop epsiloniser la discussion, nous allons considérer des temps de passage Bernoulli 0/1, mais la preuve s'adapte facilement pour toute loi. On note

$$p = \mathbb{P}(\tau = 1), \quad 1 - p = \mathbb{P}(\tau = 0).$$

**Proposition 3** ( $\mu > 0$ , une version facile). *Pour de la PPP avec des temps de passage Bernoulli 0/1, si  $1 - p < 1/4$ , alors  $\mu > 0$ .*

*Démonstration.* Soit  $\delta > 0$  petit (on le choisira plus tard), nous allons trouver  $c > 0$  tel que

$$\mathbb{P}(D_n \leq n\delta) \leq \exp(-cn), \quad (3)$$

et la Proposition en découlera, par Borel-Cantelli ou plus simplement parce que

$$\frac{1}{n} \mathbb{E}[D_n] \geq \frac{1}{n} \mathbb{E}[D_n \mathbf{1}_{D_n \geq n\delta}] \geq \frac{1}{n} n\delta(1 - e^{-cn}) \rightarrow \delta.$$

Montrons (3) : dire que  $D_n$  est inférieur à  $n\delta$ , c'est dire qu'il existe un chemin auto-évitant  $\vec{0} \rightarrow \vec{n}$  avec  $\ell \geq n$  arêtes, dont le temps de passage est inférieur à  $n\delta$ . Par  $\mathbb{P}(\cup) \leq \sum \mathbb{P}$ , cela donne, en notant  $\tau_1, \tau_2, \dots$  des temps de passage Bernoulli indépendants,

$$\mathbb{P}(D_n \leq n\delta) \leq \sum_{\ell \geq n} \underbrace{3^\ell \mathbb{P}(\tau_1 + \tau_2 + \dots + \tau_\ell \leq n\delta)}_{\text{compense le } 3^\ell}.$$

Avec le Lemme suivant (pas optimal) c'est gagné :

**Lemme** (Inégalité à la Chernov). *Si  $\tau_1, \tau_2, \dots, \tau_\ell$  sont des Bernoulli avec  $1 - p \leq 1/4$ , alors pour tout entier  $n$  et tout réel  $\delta > 0$  on a*

$$\mathbb{P}(\tau_1 + \tau_2 + \dots + \tau_\ell \leq n\delta) \leq e^{3\delta n} \times 0, 3^\ell.$$

On a en effet

$$\mathbb{P}(D_n \leq n\delta) \leq e^{3\delta n} \sum_{\ell \geq n} 0, 9^\ell \leq e^{3\delta n} 0, 9^n.$$

Si  $\delta$  est assez petit, le terme de droite décroît exponentiellement vite vers zéro. □

### Mini-mini-mini-cours d'inégalités de concentration

Je montre le Lemme. La technique, due à Chernov, est très utile. On utilise le fait que, pour tout  $\lambda > 0$ , la fonction  $u \mapsto \exp(-\lambda u)$  est décroissante :

$$\mathbb{P}(\tau_1 + \tau_2 + \dots + \tau_\ell \leq n\delta) = \mathbb{P}(e^{-\lambda \sum_i \tau_i} \geq e^{-\lambda n\delta})$$

L'inégalité de Markov<sup>(iii)</sup> appliquée à la variable  $e^{-\lambda \sum_i \tau_i}$  donne ensuite

$$\begin{aligned} \mathbb{P}(\tau_1 + \tau_2 + \dots + \tau_\ell \leq n\delta) &\leq e^{\lambda n\delta} \mathbb{E}[e^{-\lambda \sum_i \tau_i}] \\ &\leq e^{\lambda n\delta} \mathbb{E}[e^{-\lambda \tau_1}]^\ell \\ &= e^{\lambda n\delta} (pe^{-\lambda} + (1-p))^\ell. \end{aligned}$$

Maintenant je choisis  $\lambda = 3$ , on a  $pe^{-\lambda} + (1-p) \leq e^{-3} + 1/4 \leq 0, 3$ .

---

(iii). Pour une variable aléatoire  $Z$  positive et un réel  $a > 0$ ,  $\mathbb{P}(Z \geq a) \leq \mathbb{E}[Z]/a$ .

## 4 Autres questions en PPP

Pour finir, je signale rapidement quelques problèmes historiques ou actuels en PPP. Pour plus de détails, je conseille [4].

### Existence d'une forme limite

Pour revenir à la motivation initiale, on peut essayer de décrire l'évolution des grandes boules aléatoires

$$B_t := \left\{ x \in \mathbb{Z}^2, D(\vec{0}, x) \leq t \right\}.$$

Alors, si  $\mu > 0$ , il y a une sorte de loi des grands nombres pour  $B_t$  :

**Théorème 3** (Richardson (1973), puis Cox-Durrett (1981)). *On suppose que  $\tau$  est tel que  $\mu > 0$  et que  $\mathbb{E}[\min \{\tau_1, \tau_2, \tau_3, \tau_4\}^2] < \infty$ . Il existe alors un ensemble non vide  $B^* \subset \mathbb{R}^2$  compact convexe et déterministe tel que, pour tout  $\varepsilon > 0$ ,*

$$\mathbb{P} \left( (1 - \varepsilon)B^* \subset \frac{1}{t}B_t \subset (1 + \varepsilon)B^*, \text{ pour } t \text{ assez grand} \right) = 1.$$

Les outils principaux sont les suivants :

1. La convergence (2) peut en réalité s'écrire dans toutes les directions : pour tout  $\vec{x} \in \mathbb{Z}^2$ ,

$$\lim_{n \rightarrow \infty} \frac{D(\vec{0}, n\vec{x})}{n} = \mu(\vec{x}) = \inf_{n \geq 1} \frac{\mathbb{E}[D(\vec{0}, n\vec{x})]}{n}.$$

2. On démontre que  $\mu(\cdot)$  peut se prolonger en une norme sur  $\mathbb{Q}^2$ , puis sur  $\mathbb{R}^2$ .
3. Un candidat pour  $B^*$  est alors la boule pour  $\mu(\cdot)$  de rayon 1. Pour le confirmer, il faut avoir une sorte de contrôle uniforme des distances : on montre que  $\limsup_{|x| \rightarrow \infty} \frac{D(\vec{0}, \vec{x}) - \mu(x)}{|x|} = 0$ .

Mais bien sûr, puisqu'on ne connaît jamais  $\mu$ , on ne connaît jamais  $B^*$ . On sait simplement que, chaque  $B_t$  ayant une loi invariante par symétrie axiale ou verticale,  $B^*$  est symétrique par rapport aux deux axes.

On attribue à Eden la conjecture suivante : pour des temps de passage exponentiels (c'est donc la version continue du modèle d'Eden présenté au tout début),  $B^*$  est une boule euclidienne. On pense aujourd'hui que ce n'est pas le cas, voir [6] : il y est montré que l'on va "trop vite" le long des axes :  $\mu_d \approx \log(d)/d$ .

### $\mu$ comme fonction de $\tau$

Dans la mesure où on ne sait calculer  $\mu(\tau)$  pour aucune loi  $\tau$  non triviale (sauf quand  $\mu = 0$ ), on cherche à savoir si au moins elle dépend continûment de  $\tau$ . C'est vrai sans aucune hypothèse :

**Théorème 4** (Cox-Kesten (1981)). *Si  $(\tau_n)$  est une suite de lois sur  $[0, +\infty)$  convergeant faiblement vers  $\tau$ , alors  $\mu(\tau_n) \rightarrow \mu(\tau)$ .*

Il y a même une notion d'ordre sur les lois  $\tau$  qui rend  $\tau \mapsto \mu(\tau)$  strictement croissante : si  $\tilde{\tau}$  est strictement plus variable que  $\tau$  alors  $\mu(\tilde{\tau}) < \mu(\tau)$  (voir [13] pour la définition et le résultat optimal).



## Fluctuations et Relation KPZ

Le problème ouvert le plus célèbre en percolation de premier passage est celui des fluctuations de  $D_n$ . Pour des raisons de classe d'universalité que je n'ai jamais vraiment comprises, il est acquis par la communauté que  $\text{Var}(D_n) \approx n^{2/3}$ . Le meilleur résultat connu aujourd'hui est le suivant :

**Théorème 5** (Benjamini-Kalai-Schramm [3] et Benaïm-Rossignol [2]). *Pour une grande famille de temps de passages discrets et continus,*

$$\text{Var}(D_n) \leq c^{\text{ste}} \frac{n}{\log(n)}.$$

Les preuves reposent sur des inégalités fonctionnelles et de concentration dans des espaces produits. Pour la borne inférieure, Newman et Piza [14] ont démontré que, pour certaines lois,  $\text{Var}(D_n) \geq c^{\text{ste}} \log(n)$ .

Récemment, Chatterjee a réalisé une avancée très spectaculaire en démontrant rigoureusement un cas particulier de ce que les physiciens appellent la relation KPZ (celle de Kardar-Parisi-Zhang, pas l'autre). Cette relation relie l'exposant des fluctuations et l'*exposant de dispersion*. Si  $\gamma_n$  est le meilleur chemin  $\vec{0} \rightarrow \vec{n}$  et  $\text{Haut}(\gamma_n)$  en est l'ordonnée maximale, alors

**Théorème 6** (Relation KPZ en Percolation de Premier Passage, Chatterjee [5]). *Pour une grande famille de temps de passages continus, il est équivalent de démontrer que*

$$\text{Var}(D_n) \approx n^{2/3} \quad \text{et que} \quad \text{Haut}(\gamma_n) \approx n^{2/3}.$$

Une conséquence d'un travail que nous avons réalisé avec A.-L.Basdevant et N.Enriquez [1] est que dans la percolation de premier passage sur un graphe de dimension 2 très particulier la variance est effectivement de l'ordre de  $n^{2/3}$ . Notre argument consiste à exprimer la quantité  $D_n$  comme une fonctionnelle d'un certain système de particules, le TASEP, dont on sait que la variance est en  $n^{2/3}$ .

## PPP et modèles de compétition

On peut construire à partir de la PPP avec une loi  $\tau$  continue un *modèle de compétition* sur  $\mathbb{Z}^2$  entre deux couleurs (les "liquides" de tout à l'heure). Imaginons que  $\vec{0}$  est colorié en bleu et  $\vec{1}$  en rouge, on dit que  $x \in \mathbb{Z}^2$  est bleu si

$$D(\vec{0}, x) < D(\vec{1}, x),$$

rouge sinon. Il y a clairement une probabilité positive que l'une des deux couleurs "perde" : elle n'occupe qu'une partie finie de l'espace (bleu a beaucoup de chances de perdre si, par exemple, chacune des 4 arêtes autour de  $\vec{0}$  vaut plus de  $10^{100}$ ). On se demande s'il y a une probabilité positive de "match nul" : les deux couleurs survivent. Cela a été démontré par Häggström et Pemantle [8] pour la loi exponentielle, puis par Garet et Marchand [7] et Hoffman [10] pour d'autres lois continues.

Là aussi il y a beaucoup d'extensions possibles, notamment si l'une des couleurs avance plus vite que l'autre, voir [4].

## Références

- [1] A.-L. Basdevant, N. Enriquez, L. Gerin. Distances in the highly supercritical percolation cluster (2011). *Annals of Probability*, à paraître.
- [2] M.Benaïm, R.Rossignol. Exponential concentration for first passage percolation through modified Poincaré inequalities. *Annales de l'IHP : Probabilités et Statistiques*, vol.44 (2008) n.3 p.544-573.
- [3] I.Benjamini, G.Kalai, O.Schramm. First passage percolation has sublinear distance variance. *Annals of Probability*, vol.31 (2003) n.4 p.1970-1978.
- [4] N.D. Blair-Stahn. First passage percolation and competition models (2010). [arXiv:1005.0649](#).
- [5] S.Chatterjee. The universal relation between scaling exponents in first-passage percolation. *Annals of Mathematics*, à paraître.
- [6] O.Couronné, N.Enriquez, L.Gerin. Construction of a short path in high dimensional first-passage percolation. *Electronic Communications in Probability*, vol.16 (2011) p.22-28.
- [7] O.Garet, R.Marchand. Coexistence in two-type first-passage percolation models. *Annals of Applied Probability*, vol.15 (2005) n.1A p.298-330.
- [8] O.Häggström, R.Pemantle. First passage percolation and a model for competing spatial growth. *Journal of Applied Probability*, vol.35 (1998) p.683-692.
- [9] J.M.Hammersley, D.J.A.Welsh. First-passage percolation, subadditive processes, stochastic networks, and generalized renewal theory. (1965) *Proc. Internat. Res. Semin., Statist. Lab., Univ. California*, Berkeley, Calif. p.61-110.
- [10] C.Hoffman. Coexistence for Richardson type competing spatial growth models. *Annals of Applied Probability*, vol.15 (2005) n. 1B p.739-747.
- [11] H.Kesten. *Aspects of first passage percolation*. École d'été de probabilités de Saint-Flour 1984, p.125-264, Lecture Notes in Math. 1180, Springer (1986).
- [12] J.F.C.Kingman. Subadditive ergodic theory. *Annals of Probability*, vol.1 (1973) p.883-909.
- [13] R.Marchand. Strict Inequalities for the Time Constant in First Passage Percolation. *Annals of Applied Probability*, vol.12 (2002) n.3 p.1001-1038 .
- [14] C.M.Newman, M.S.T. Piza. Divergence of Shape Fluctuations in Two Dimensions. *Annals of Probability*, vol. 23 (1995) n.3 p.977-1005.
- [15] J.M.Steele. *Probability theory and combinatorial optimization*. SIAM, Philadelphia (1997).